

ERZİNCAN VE YÖRESİNİN DEPREM TEHLİKESİ

Seismic Hazard Assessment of Erzincan Area

Yıldız ALTINOK*

ÖZET

Bu çalışmada, ülkemizin en etkin fay zonu olan Kuzey Anadolu Fay Zonunda (KAFZ) yer alan Erzincan ve yoresinin deprem tehlikesi incelenmiştir. Deprem oluşum modeli olarak Semi-Markov modeli seçilmiş ve $M_s \geq 4.5$ büyüklüğündeki depremler kullanılmıştır. Bulgulara göre; bölgede özellikle Erzincan havzasının doğu kesiminin sismik riskinin yüksek olduğu saptanmıştır. Oluşacak depremlerin büyüklükleri dikkate alındığında Erzincan ve yoresinin deprem tehlikesini koruduğu görülmektedir.

ABSTRACT

In this study, earthquake hazard assessment has been analyzed at Erzincan area which is located at the most active fault zone namely North Anatolian Fault Zone (NAFZ) in Turkey. The SemiMarkov model has been selected as earthquake occurrence model and earthquakes of $M_s \geq 4.5$ has been used. The results revealed that the seismic risk at the eastern part of Erzincan basin is high. Considering the probable earthquake magnitudes, it is perceived that Erzincan province and the surrounding area keep the danger of seismic hazard.

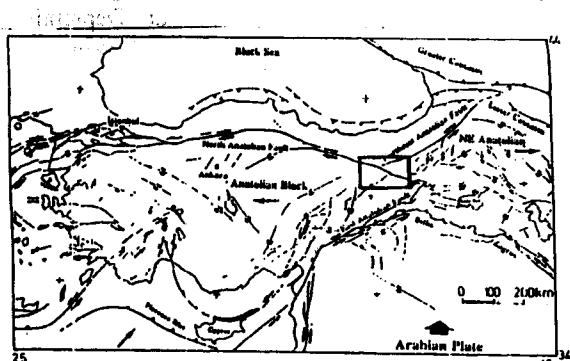
GİRİŞ

Ülkemizin en etkin fay zonu olan KAFZ üzerinde yer alan Erzincan ve yoresi 13 Mart 1992'de oluşan $M_s=6.8$ büyüklüğündeki depremle büyük can ve mal kaybına uğramıştır. Bu depremle 500'ün üzerinde kişi hayatını kaybetmiş, 3000'e yakın kişi yaralanmış ve 12000 konut hasar görmüştür. Erzincan ve çevresi tarihsel geçmişinde de yıkıcı depremlerden etkilenmiştir. 1000-1940 yılları arasında oluşan $I \geq VIII$ olan depremlerle yaklaşık 134.500 kişi hayatını kaybetmiştir. Yakın geçmişte $M_s=8.0$ büyüklüğündeki 1939 Erzincan Depremi de 33000 can kaybı ile ülkemizde ve dünyada çok yıkıcı depremler sıralamasında yer almıştır. Yore bugün ve gelecek için de deprem tehlikesini korumaktadır. Bu nedenle Erzincan ve yoresinin sismik riski, bölgenin tektonik özellikleri göz önüne alınarak, olusacak depremlerin yeri, zamanı ve büyüklüğü konusunda bilgi verici bir modelle saptanmaya çalışılmıştır.

ERZİNCAN VE YÖRESİNİN TEKTONİK KONUMU

Erzincan ve çevresi (KAFZ) üzerinde yer almaktadır (Şekil 1). Bölgenin genel tektonik özellikleri ile ilgili olarak şunları söyleyebiliriz: Arap-Levhasinin kuzeye doğru ilerlemesiyle Anadolu Bloğu batıya, Doğu Anadolu Bloğu ise doğuya doğru ilerlemektedir. Bölgede başlıca üç ana fay yer almaktadır. Bunlar sırasıyla, BKB-DGD doğrultulu sağ yanal atımlı KAFZ, KD-GB doğrultulu sol yanal atımlı Kuzeydoğu Anadolu Fayı ve KD-GB doğrultulu sol yanal atımlı Ovacık

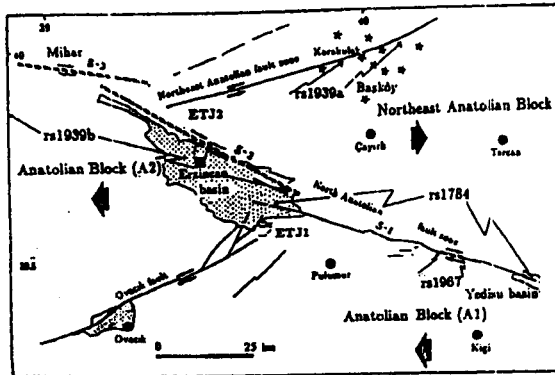
faylarıdır. KAFZ batıya hareket eden Anadolu Bloğunuın kuzey sınırını oluşturmaktadır. Erzincan havzası bu tektonik konumu ile çek-ayır (pull-apart) tipi havza özelliği göstermektedir (Barka ve Gülen, 1989).



Şekil 1: İnceleme Bölgesi (Neo-tektonik harita Barka ve Toksöz, 1992'ye aittir).

Figure 1: Investigated Area (Neo-tektonik map, after Barka and Toksöz, 1992).

KAFZ, Erzincan çevresinde üç ana segmentten oluşmaktadır (Şekil 2). Bunlardan birincisi (S1) yaklaşık 75km uzunlığında ve Yedisu-Tanyeri arasında birçok alt segmentten oluşur. İkinci segment (S2), Erzincan baseninin kuzey kenarını sınırlayan Tanyeri-Bahik segmenti olup 60km uzunluğundadır.



Şekil 2: Erzincan baseninin aktif fayları ve çevresindeki tectonic blocks (after Barka, 1992).

Figure 2: Active faults at Erzincan and surroundings (after Barka, 1992).

Üçüncü segment (S3) ise Mihar-Tümekar segmenti olarak adlandırılan 60km uzunluğundaki segmenttir. Bu segmentlerden S2 ve S3 1939 Erzincan Depremi ($M_S=8.0$) sırasında kırılmış, genellikle S3 üzerinde 7-7.5m lik sağ yanal atımlar oluşmuştur (March 13, 1992 ($M_S=6.3$) Erzincan Earthquake:A Preliminary Reconnaissance Report, 1992). S1 segmenti en son 1784 depremi (I=IX) ile kırılmıştır ancak doğrultu atımı hakkında bilgi yoktur. 1967 Pülümür Depreminde ($M=5.9$) 4km lik kırık ve 20cm lik sağ yanal atım oluşmuştur (Ambraseys, 1975).

13 Mart 1992 Depremi ($M_S=6.8$) daha çok Erzincan baseninin doğu yarısında S1 ve S2 segmentleri ile Ovacık Fayının kesiştiği yerde etkili olmuştur (Barka, 1992).

BÖLGENİN SİSMİK RİSKİNİN BELİRLENMESİ

Deprem mühendisliğinin en büyük problemi sismik riskin belirlenmesidir. Deprem oluşum mekanizmasındaki belirsizliklerden dolayı gelecekteki depremin yeri, zamanı ve büyülüğünün önceden saptanmasında zorluklar vardır. Stokastik modellerden yararlanarak deprem oluşum modelleri ile bu konuya açıklık getirilmeye çalışılmıştır. Deprem oluşum modellerinde, depremler bağımsız olaylar olarak ele alındığı gibi son yıllarda bazı araştırmacılar bağımlı olaylar olarak değerlendirilmişlerdir (Kiremidjian and Anagnos, 1984). Bağımlı modeller arasında Markov (Veneziano and Cornell, 1974), Semi-Markov (Patwardhan ve dig., 1980) sayılabilir. Bu çalışmada fay ve fay sistemi gibi süreksizliklerde kullanılacak en uygun stokastik modelin Semi-Markov olduğu düşünülmüş, Erzincan ve yöresine uygulanmaya çalışılmıştır. İnceleme bölgesinde 1929-1994 yılları arasında oluşmuş $M_S \geq 4.5$ olan 83 deprem kullanılarak sismik risk saptanmıştır. Deprem verileri Gündoğdu ve

Altınok (1990) Deprem Veri Setinden ve USGS-NEIC den sağlanmıştır. Deprem veri seti; Alsan ve dig. (1975), Kandilli Deprem Kataloju (1981), Ambraseys ve Jackson (1981), Ayhan ve dig. (1986) ve bazı bültenlerden (ISC ve PDE) yararlanılarak derlenmiştir.

Bölgede oluşan depremler yer, zaman ve büyülüklük olarak üç boyutta incelenmiştir. $M \geq 4.5$ olan ardışık depremler saptanarak $G(G_{ij})$,

$$0 \leq G_{ij} \leq 1 \quad ; \quad 1 \leq i, j \leq N$$

$$\sum_{i=1}^N G_{ij} = 1 \quad ; \quad i = 1, 2, \dots, N \quad (1)$$

geçiş matrisleri oluşturulmuş, depremler arasında geçen zaman dikkate alınarak 1 yıllık birim zamanlar için $T(m)$,

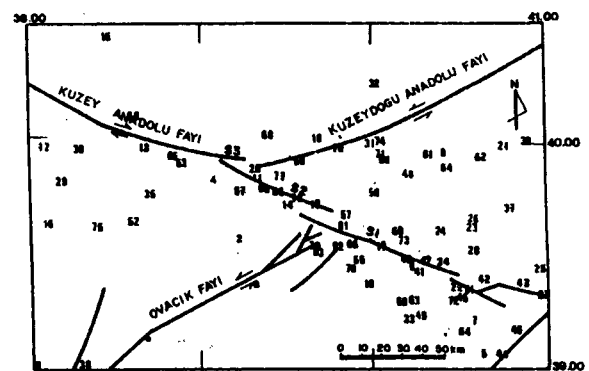
$$T(m) = \sum_{n=1}^N T_{ij}(m) = 1 \quad (2)$$

geçiş zamanı olasılık kütle fonksiyonları saptanarak $> W(n)$, tümleyici bekleme zamanı matrisleri olmak üzere $P(n)$,

$$P(n) = W(n) + \sum_{m=0}^n G \cdot T(m) P(n-m) ; n = 0, 1, 2, \dots, \quad (3)$$

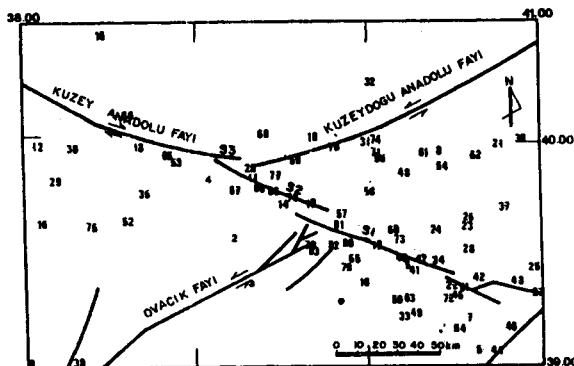
aralık geçiş olasılıkları elde edilmiştir. $P(n)$ olasılık değerleri ile bölgenin sismik riskinin saptanmasına yaklaşım sağlanmıştır (Altınok, 1988).

Modeli uygularken bölgede yer alan fay ve fay sistemleri dikkate alınarak KAFZ (K), Kuzeydoğu Anadolu Fayı (KD) ve Ovacık Fayı (O) olmak üzere üç durum (state) seçilmiştir. Bu fay sistemlerinde oluşan depremleri gösteren Şekil 3 teki veriler kullanılarak (3) no lu bağıntı yardımıyla $P(n)$, aralık geçiş olasılığı değerleri elde edilmiştir (Şekil 4).



Şekil 3: Erzincan Bölgesi'nde $M_s \geq 4.5$ olan depremler.

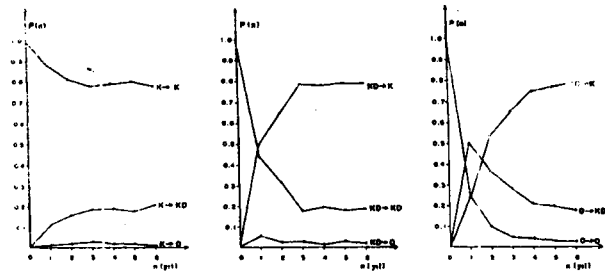
Figure 3: $M_s \geq 4.5$ earthquakes in Erzincan region.



Şekil 4: K , KD ve O için aralık geçiş olasılığı fonksiyonları (K -Kuzey Anadolu Fay Zonu, KD -Kuzeydoğu Anadolu Fayı, O -Ovacık Fayı).

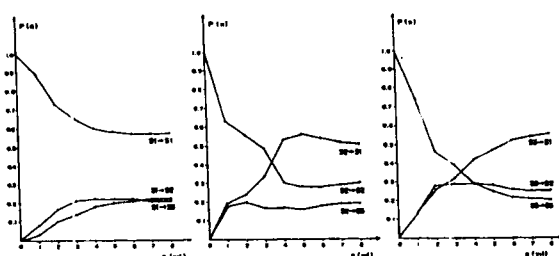
Figure 4: Interval transition probability functions for K , KD and O (K : North Fault Zone, KD -Northeast Anatolian Fault, O -Ovacık Fault).

KAFZ, Şekil 4 den de görüleceği gibi yüksek sismik risk değerleri göstermektedir. Bunu gözönüne alarak bölgede KAFZ'ı oluşturan S_1 , S_2 ve S_3 segmentleri durum olarak seçilmiş ve Şekil 5 de gösterilen depremler kullanılarak, $P(n)$, aralık geçiş olasılıkları saptanmıştır (Şekil 6). KAFZ'ın S_1 , S_2 ve S_3 segmentlerinde oluşan depremlerin büyüklükleri de dikkate alınarak $4.5 \leq M_1 < 5.5$, $5.5 \leq M_2 \leq 6.5$ ve $M_3 \geq 6.5$ olmak üzere üç büyülüklük durumu oluşturulmuştur. Deprem büyülüklüklerinin $P(n)$, aralık geçiş olasılıkları Şekil 7'de gösterilmiştir. Yer ve büyülüklük boyutlarında aralık geçiş olasılıkları belirlenen depremlerin bağlantılı olasılıkları (joint probabilities) da saptanarak, oluşacak depremler yer, zaman ve büyülüklük olarak üç boyutlu değerlendirilebilir (Altinok ve Kolçak, 1994). Bundan yararlanılarak, KAFZ'da S_1 , S_2 ve S_3 segmentlerinde M_1 , M_2 ve M_3 büyülüklüklerinde oluşacak depremlerin bağlantılı olasılık değerleri elde edilmiştir. Deprem tehlikesi altındaki Erzincan ve yöresinde bağlantılı olasılıkların %50'yi aşan değerleri bölge için önemli görüülerek Tablo 1'de verilmiştir.



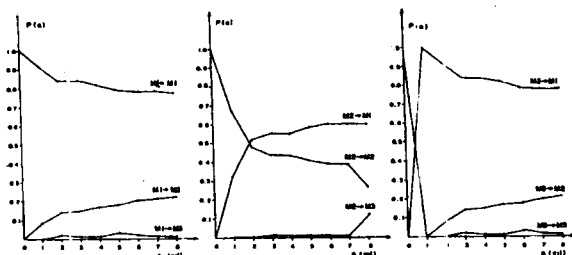
Şekil 5: S_1 , S_2 , S_3 segmentlerinde $M \geq 4.5$ olan depremler.

Figure 5: $M \geq 4.5$ earthquakes in S_1 , S_2 and S_3 segments.



Şekil 6: S_1 , S_2 ve segmentleri için aralık geçiş olasılığı fonksiyonları.

Figure 6: Interval transition probability functions for S_1 , S_2 and S_3 segments.



Şekil 7: M_1 , M_2 ve M_3 büyülüklükleri için aralık geçiş olasılığı fonksiyonları.

Figure 7: Interval transition probability functions for M_1 , M_2 and M_3 magnitudes.

SONUÇLAR

Bu çalışmada, Erzincan ve yoresinin tektonik özellikleri gözönüne alınarak Semi-Markov modelle sismik riske bir yaklaşım sağlanmıştır. Elde edilen sonuçları şöyle sıralayabiliriz:

- 1) Bölgede $M \geq 4.5$ olan depremlerin en yüksek olma olasılığının olduğu yer KAFZ (K) dir. Kuzeydoğu Anadolu Fayı (KD) ve Ovacık Fayında (O) oluşacak depremlerin ardından KAFZ'da deprem olma olasılığının yüksek olması, bu zonun adı geçen faylardan tetiklendiğini düşündürmektedir.

Yer	BÜYÜKLÜK	Zaman			
		1 yıl	2 yıl	3 yıl	4 yıl
$S_1 \rightarrow S_1$	$M_1 \rightarrow M_1$	0.82	0.61	0.54	
	$M_2 \rightarrow M_2$	0.60			
	$M_3 \rightarrow M_1$	0.89	0.67	0.55	0.50
$S_2 \rightarrow S_2$	$M_1 \rightarrow M_1$	0.58			
	$M_3 \rightarrow M_1$	0.63	0.51		
$S_3 \rightarrow S_3$	$M_1 \rightarrow M_1$	0.68			
	$M_3 \rightarrow M_1$	0.74			

Tablo 1: Erzincan ve yoresinin bağlantılı olasılıkları.

Table 1: Joint probabilities of Erzincan and surroundings.

2) KAFZ'da oluşacak depremlerin S1 segmentinde olma olasılıkları çok yüksektir. 1 yıl içinde S1, S2 ve S3 segmentlerinde $M \geq 4.5$ olan depremlerin ardından aynı segmentlerde deprem olma olasılığı da yüksektir. S1 segmentinde $M \geq 4.5$ olan depremin ardından aynı büyüklükte deprem olma olasılığı tüm zaman aralıklarında %50'nin üzerindedir. S1 segmentine karşılık gelen Yedisu-Tanyeri yani Erzincan havzasının doğu kesimi deprem tehlikesini korumaktadır.

3) KAFZ'in S1, S2 ve S3 segmentlerinde M1, M2 veya M3 büyüklüğünde bir deprem olduktan sonra 8 yıllık sürede M1 büyüklüğünde depremin olma olasılığı yüksektir. M3 büyüklüğündeki depremin ardından bir yıl içinde M1 büyüklüğünde depremin olma olasılığı %100'dür. Zonun büyük deprem üretme özelliğini dikkate alırsak $M \geq 6.5$ olan bir depremin ardından $4.5 \leq M < 5.5$ büyüklüğündeki depremin 1 yıl içinde %100 olma olasılığı artçı depremlerin olası büyüklükleri hakkında bilgi vermektedir.

4) Bağlılı olasılıklar açısından, S1, S2 ve S3 segmentlerinde $M \geq 4.5$ olan depremin ardından, 0-1 yıl aralığında, aynı segmentlerde deprem olma olasılığı yüksektir. En yüksek olasılık değerine sahip S1 segmentinde $M \geq 6.5$ olan bir depremin ardından aynı segmentte $4.5 \leq M < 5.5$ olan bir depremin 0-1 yıl aralığındaki olasılığı %89 dur.

Bu bilgilerin ışığında Erzincan ve yöresinin deprem tehlikesi açısından güncellliğini koruduğunu söyleyebiliriz.

KATKI BELİRTME

Sayın Doç. Dr. Demir Kolçak, Dr. Naşide Özer ve teknik ressam Ferhan Aksöz'e teşekkürlerimi sunarım.

KAYNAKLAR

- Alsan, E., Tezüçan, L., Bath, M. 1975, An Earthquake Catalogue for Turkey for the interval 1913-1970, Report No 7-75, Uppsala, Sweden.*
- Altınok, Y., 1988, Semi-Markov modelinin Kuzey Anadolu Fay Zonunda deprem riskine uygulanması, Jeofizik, Cilt 2, 44-58, Ankara.*
- Altınok, Y., Kolçak, D., 1994, An application of the Semi-Markov model for seismic hazard assessment in North Anatolia Turkey, Natural hazards, Kluwer Academic Publishers, Nedherlands (baskıda).*
- Ambraseys, N.N., 1975, Studies in historical seismicity and tectonics, In, Geodynamics of Today, the Royal Soc. London, 7-16.*
- Ambraseys, N.N., and Jackson, J.A., 1981, Earthquake hazard and vulnerability in the northeastern Mediterranean: the earthquake sequence of February-March 1981, Disaster 5, 355-368.*
- Ayhan, E., Alsan, E., Sancaklı, N., Üçer, B., 1986, Türkiye ve Dolayları Deprem Kataloğu 1881-1980, Boğaziçi Üniversitesi, İstanbul.*
- Barka, A.A. and Gülen, L., 1989, Complex evolution of the Erzincan basin, J.Struct.Geo., 11, 3, 275-283.*
- Barka, A.A., 1992, Kuzey Anadolu Fay'ının Erzincan çevresindeki davranışları ve 13 Mart 1992 Depremi, Yer Bilimci Gözüyle Erzincan Depremi Dünü Bugünü Yarını ve Türkiye Deprem Sorunu Simpozyumu, Aralık 1992, İstanbul.*
- Barka, A.A. and Toksoz, M.N., 1992, Seismotectonics and seismic gaps of the eastern part of the Anatolian Fault Zone, J.Geophys.Res. (baskıda).*
- Gündoğdu, O. ve Altınok, Y., 1990, Türkiye ve Çevresi Deprem Veri Seti (1900-1990), İ.Ü. Mühendislik Fak. Jeofizik Müh. Böl., İstanbul (yayınlanmamış).*
- Kandilli Deprem Kataloğu, 1981, Kandilli Deprem Kataloğu 1900-1975, Kandilli Rasathanesi-Sismoloji Bölümü, İstanbul (yayınlanmamış).*
- Kiremidjian, A.S. and Anagnos, T., 1984, Stochastic slippredictable model for earthquake occurrences, Bull.Seism.Soc.Am., 74, 739-755.*
- March 13, 1992 ($M_s=6.8$) Erzincan Earthquake = A preliminary reconnaissance report, 1992, Kandilli Observatory and Earthquake Research Institute and Faculty of Engineering, Department of Civil Engineering, Boğaziçi University, May 1992, İstanbul.*
- Patwardhan, A.S., Kulkarni, R.B., Tocher, D., 1980, A Semi-Markov model for characterizing recurrence of great earthquakes, Bull. Seism. Soc. Am., 70, 323-347.*
- Veneziano, D. and Cornell, A., 1974, Earthquake models with spatial and temporal memory for engineering seismic risk analysis, Department of Civil Engineering, Massachusetts Institute of Technology, R74-18, Cambridge, Massachusetts.*